Comparer le paradigme spatial et spatio-temporel pour estimer l'évolution d'indicateurs socio-économiques à partir d'images satellites

Robin Jarry¹, Marc Chaumont^{1,3}, Laure Berti-Équille² et Gérard Subsol¹

¹LIRMM, Université de Montpellier & CNRS ²Espace-Dev, IRD, UM, UA, UG, UR ³Université de Nîmes

Présentation à la conférence nationale en intelligence artificielle, 2024, la Rochelle

Sur la base des travaux présentés lors de la conférence

International Geoscience and Remote Sensing Symposium 2023, Pasadena, California, USA.

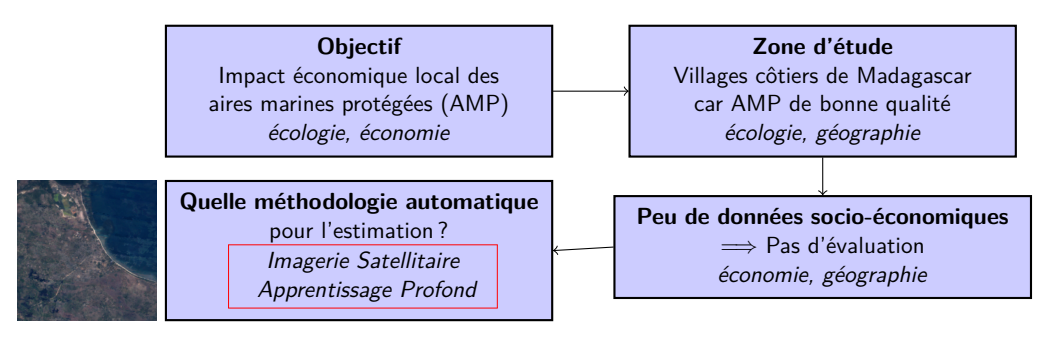
4 juillet 2024



Prédiction d'indicateurs socio-économiques

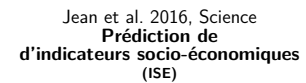


Projet ANR MPA-Poverty:



Les travaux existants et notre méthodologie





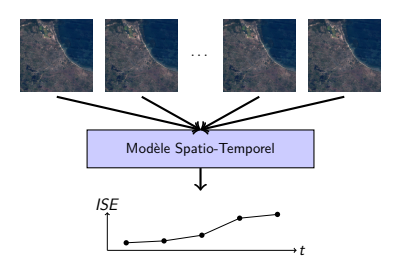
Modèle

Valeur



Kondmann et Zhu, 2020, ICLR

Notre méthodologie Prédiction de *l'évolution* d'ISE



Travaux existants:

- Prédiction de la valeur d'ISE avec une image satellite et un CNN
- ▶ Prédiction de la *variation* d'ISE entre deux dates par soustraction

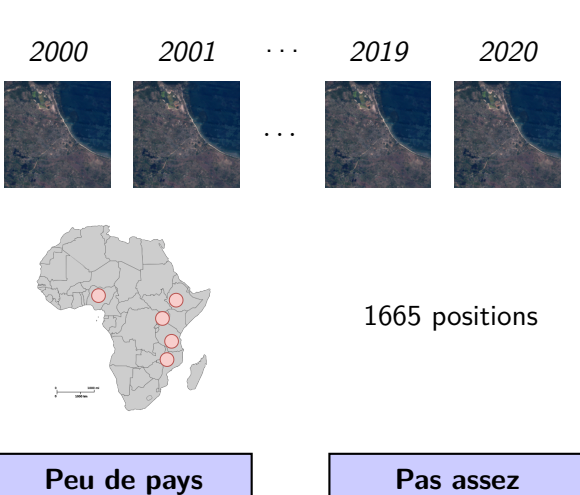
Notre méthodologie :

▶ Prédiction de l'évolution d'ISE à partir d'un modèle spatio-temporel

Utilisation de l'apprentissage supervisé

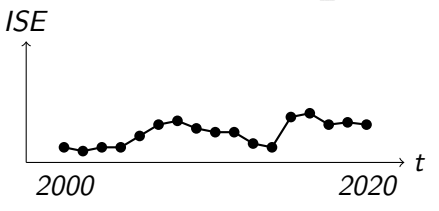
Jeu de données :

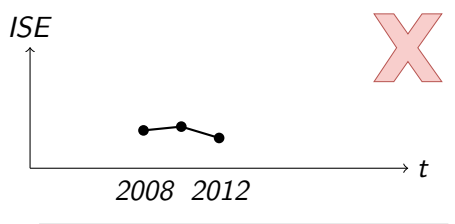
recensés



Pas assez
d'observations

Durées trop courtes
et peu de revisite





Notre alternative : utiliser l'intensité lumineuse nocturne





L'intensité lumineuse nocturne (ILN) :

- est un proxy bruité de plusieurs ISE
- couvre le monde entier
- ▶ est disponible à partir de 1990
- a une résolution temporelle d'un an

*JSE*ILN





Utilisations du *Transformer*



Le Transformer analyse des séquences et est :

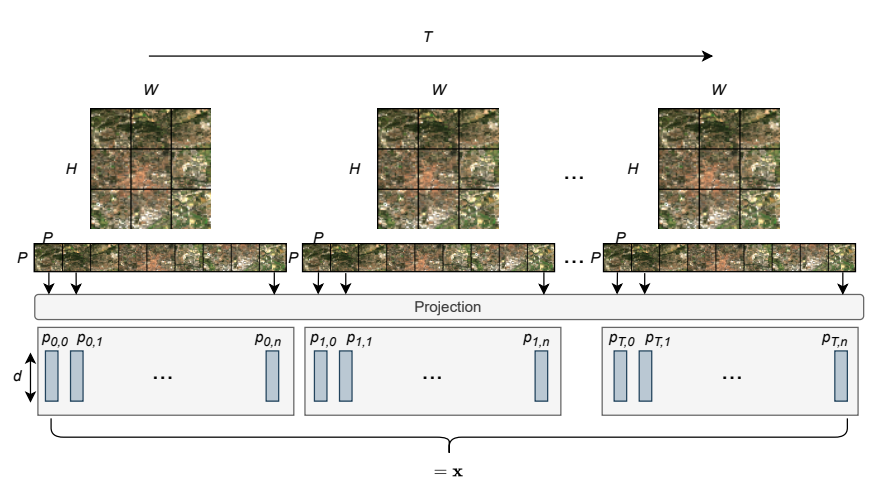
- introduit pour le traitement automatique des langues par Vaswani et al., 2017
- adapté aux images par Dosovitskiy et al., 2020
- adapté aux vidéos par Arnab et al., 2021
- ▶ adapté aux séries temporelles | d'images | satellites par Rußwurm et Körner, 2020
 - mais en fait, aux séries temporelles de pixels d'images satellites. . .

Notre proposition :

- ▶ utiliser le *Transformer* pour de « vraies » séries temporelles | *d'images* | satellites
 - proposée récemment par Tarasiou et al. 2023

Découpage en patchs et projection



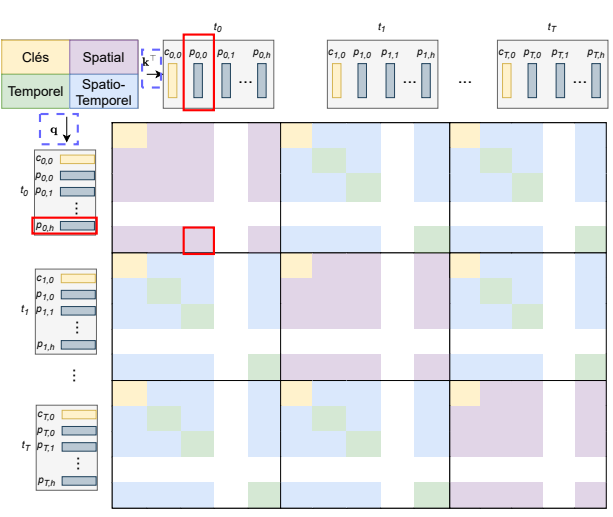


Le mécanisme d'attention du *Transformer*



représentation de **x** en *query* et *key*

- ightharpoonup Calcul du produit $\mathbf{A} = \mathbf{q} \mathbf{k}^{\top}$
- ► Calcul de $\mathbf{x}^{(l+1)} = \operatorname{softmax}\left(\frac{\mathbf{A}}{\sqrt{d}}\right)\mathbf{v}^{l}$
 - **v** est la représentation *value* de **x**



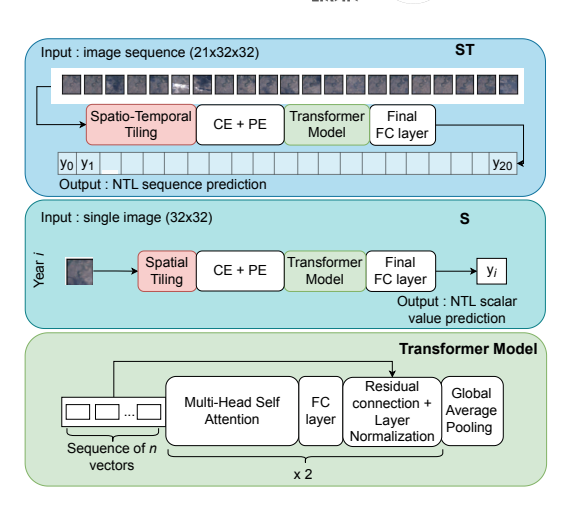
Comparaison spatial vs saptio-temporel



spatio-temporal Transformer (ST)

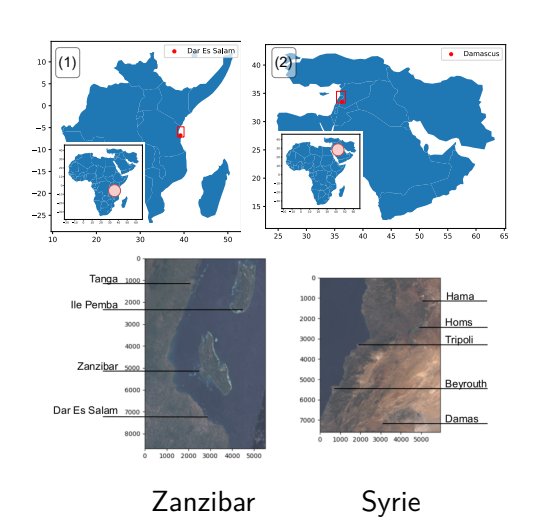
► spatial Transformer (S)

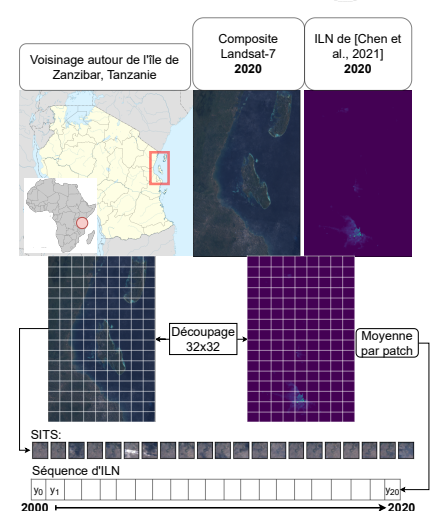
► architecture *Transformer*



Zones d'études et création du jeu d'apprentissage



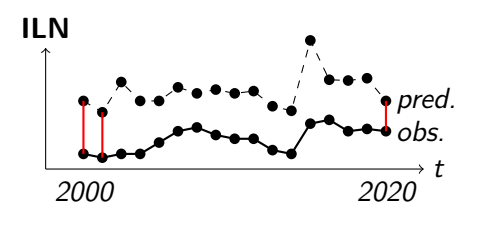


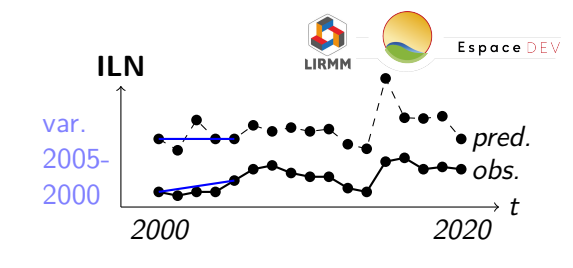


Parenthèse sur la résolution des images : la Rochelle, 1987

Parenthèse sur la résolution des images : la Rochelle, 1982

Évaluation des modèles





scores par année

scores par variation

scores:

$$MAE = \frac{1}{N} \sum_{i=0}^{N} |y_i - \widehat{y_i}|$$

$$R^{2} = 1 - \frac{\sum_{i=1}^{N} (y_{i} - \widehat{y}_{i})^{2}}{\sum_{i=1}^{N} (y_{i} - \overline{y})^{2}}$$

Résultats



Score		$MAE\downarrow(1)$	$R^2 \uparrow (1)$	$MAE \downarrow (2)$	$R^2 \uparrow (2)$
Par année	ST S	$0.085^{\pm0.010}$ $0.098^{\pm0.008}$	$0.695^{\pm0.063}$ $0.591^{\pm0.040}$	$1.011^{\pm 0.061} \\ 1.262^{\pm 0.104}$	$0.543^{\pm0.014}$ $0.431^{\pm0.028}$
$\Delta t = 1$	ST S	$0.033^{\pm0.002}$ $0.087^{\pm0.009}$	$0.123^{\pm0.062} \ -4.664^{\pm1.390}$	$0.453^{\pm0.020}$ $0.685^{\pm0.066}$	$0.128^{\pm0.010}$ $-1.240^{\pm0.439}$
$\Delta t = 10$	ST S	$0.103^{\pm 0.005}$ $0.140^{\pm 0.010}$	$0.322^{\pm0.042}$ $-0.291^{\pm0.083}$	$1.083^{\pm0.043}$ $1.287^{\pm0.056}$	$0.218^{\pm0.013}$ $-0.150^{\pm0.099}$
$\Delta t = 15$	ST S	$0.137^{\pm 0.009}$ $0.163^{\pm 0.010}$	$0.439^{\pm0.048}$ $-0.032^{\pm0.129}$	$1.069^{\pm0.041}$ $1.314^{\pm0.059}$	$0.278^{\pm0.020}$ $-0.123^{\pm0.071}$

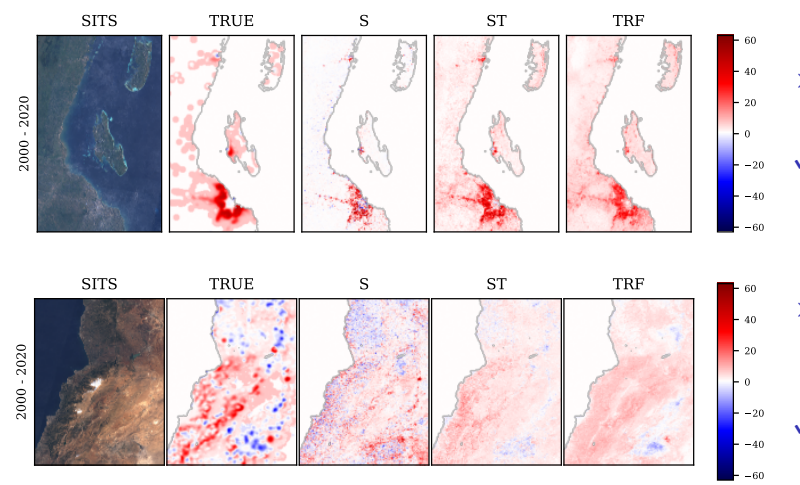
Table – Score MAE et \mathbb{R}^2 sur les zones (1) et (2). Les exposants sont les écarts-types sur les cinq plis de validation croisée.

- Par année : modèles équivalents
- $\Delta t = 1$: 2 modèles faibles

- ightharpoonup ST s'améliore dès que Δt augmente

Visualisation des évolutions entre 2000 et 2020



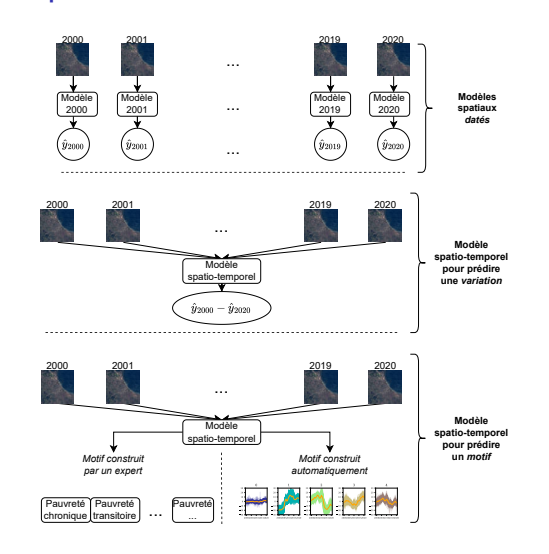


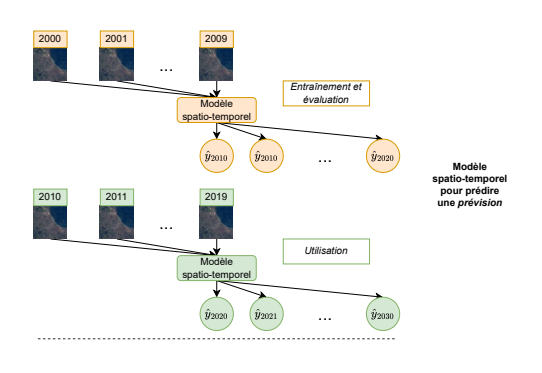
- Modèle spatial : diminution dans la capitale
- √ Modèle spatio-temporel : stagnation dans la capitale

- Modèle spatial : diminutions ponctuelles uniformément réparties
- √ Modèle spatio-temporel : diminutions qui coïncident avec la vérité terrain

Perspectives

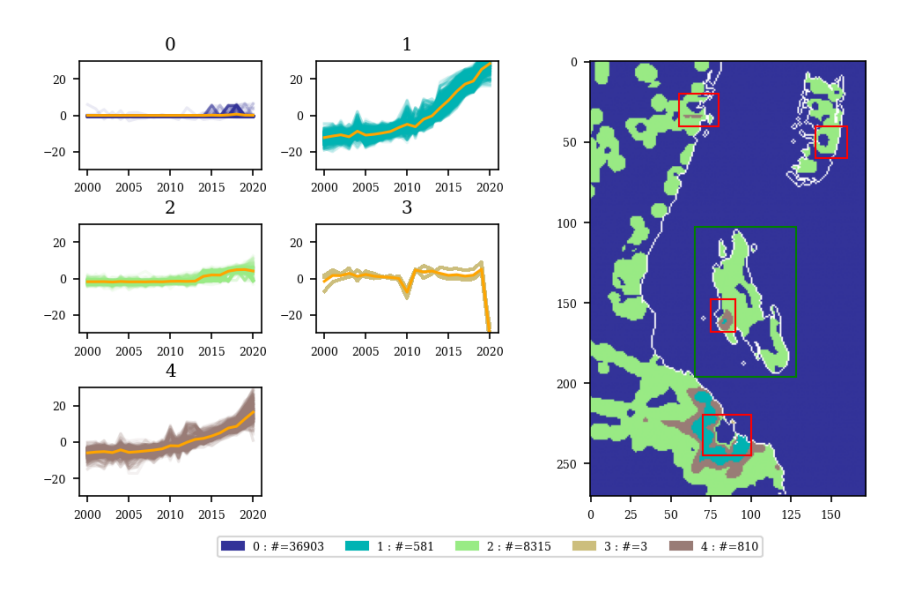








K-moyennes sur les ILN, Zanzibar



K-moyennes sur les ILN, Syrie

